東北地域のヤマセと冬季モンスーンの 先進的ダウンスケール研究

- 1. 気候研究 地球温暖化時代の東北の気候
- 2. 予測研究 短中期予測の農業気象情報への活用

岩崎 俊樹

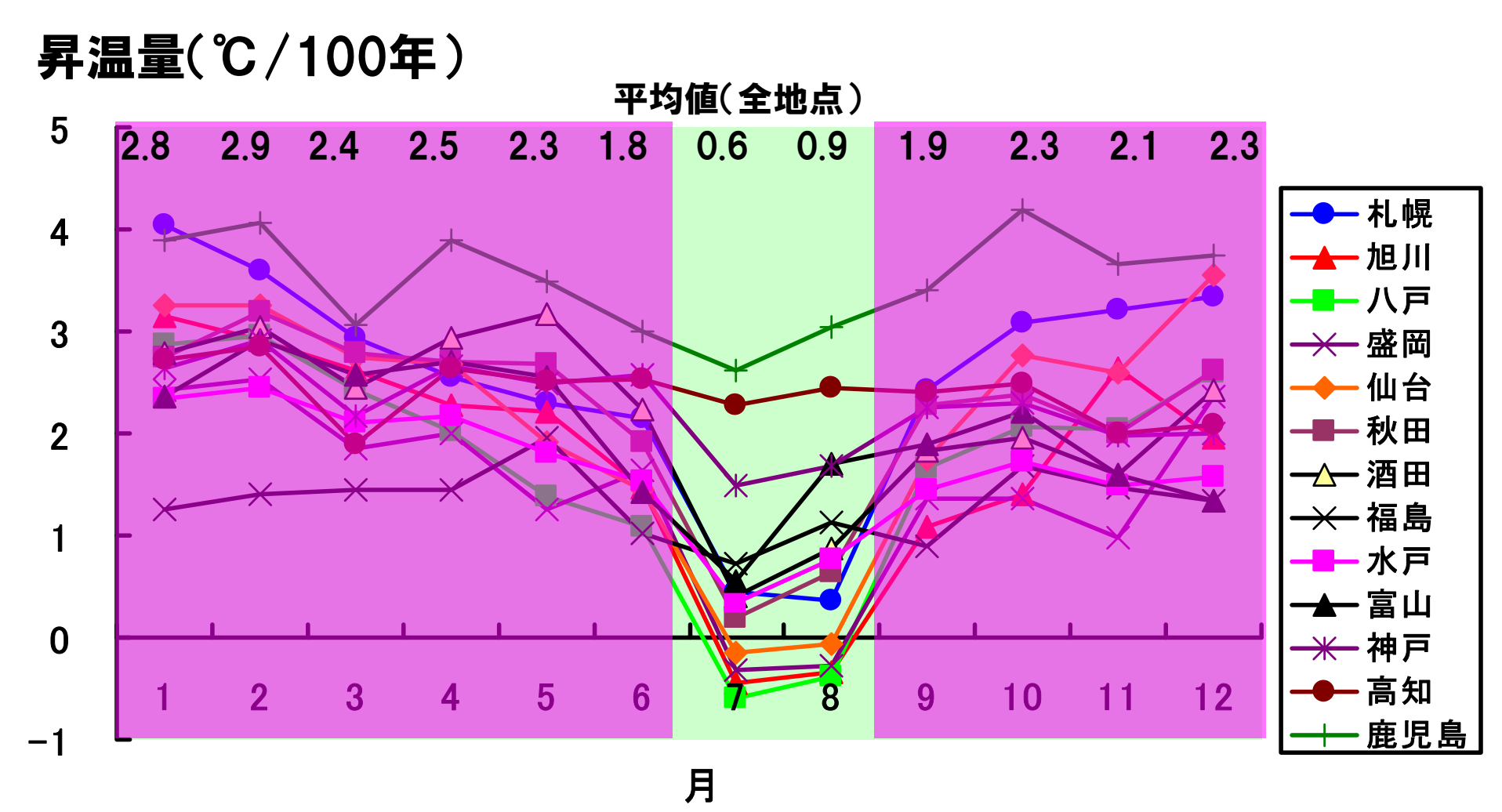
東北大学大学院理学研究科 弘前大学大学院理工学研究科 気象庁気象研究所(協力機関) 東北農業研究センター 岩手県立大学 仙台管区気象台(協力機関) 1. 気候研究: 地球温暖化時代の東北の気候

ダウンスケール技術の高度化

東北の気候の将来予測:ヤマセは将来は?

東北農業の温暖化対策

地域により夏の昇温トレンドが異なる

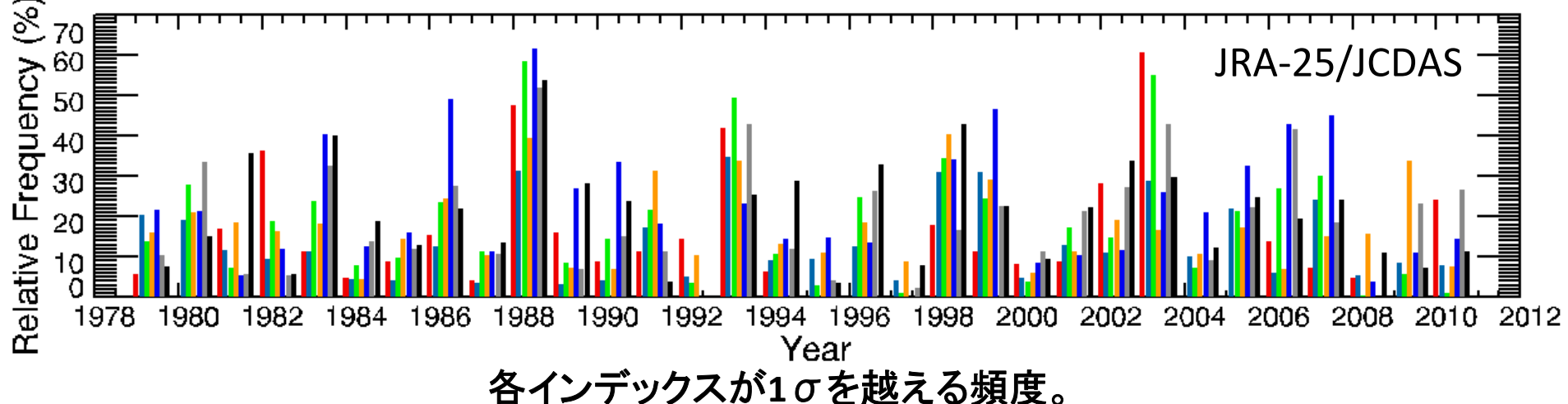


下野(岩手県立大:2008)日本作物学会紀事 77:489-497.

現在気候のダウンスケール → 温暖化ダウンスケール

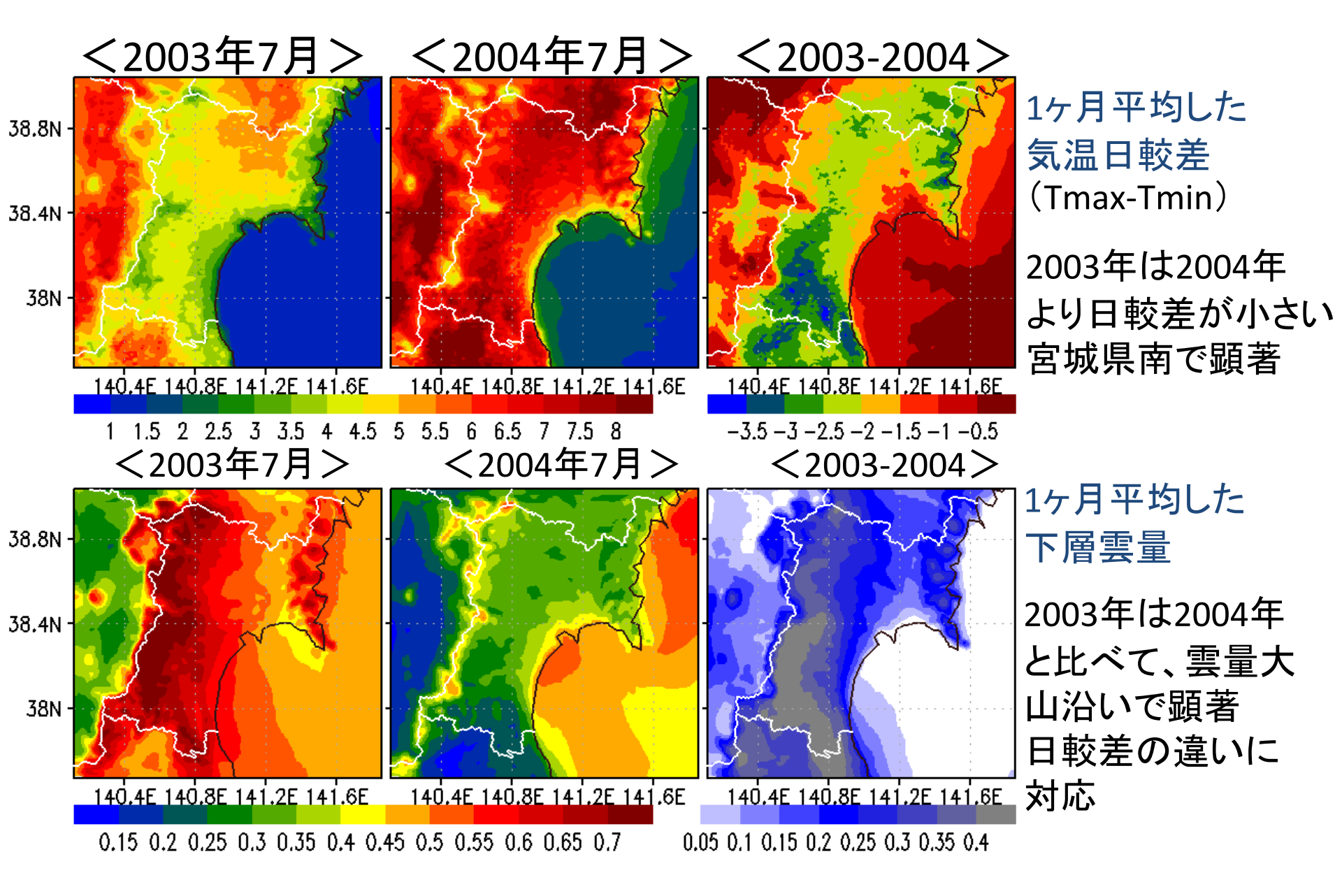
長期変動解析のための10kmメッシュデータを過去30年分(1980-2010)を作成。

- 10kmメッシュモデルの検証
- 気温のトレンド評価と局地性の考察
- 7つのヤマセインデックスを新しく提 案し、過去30年のヤマセの長期変動 温暖化実験の系統的評価へ を再評価。



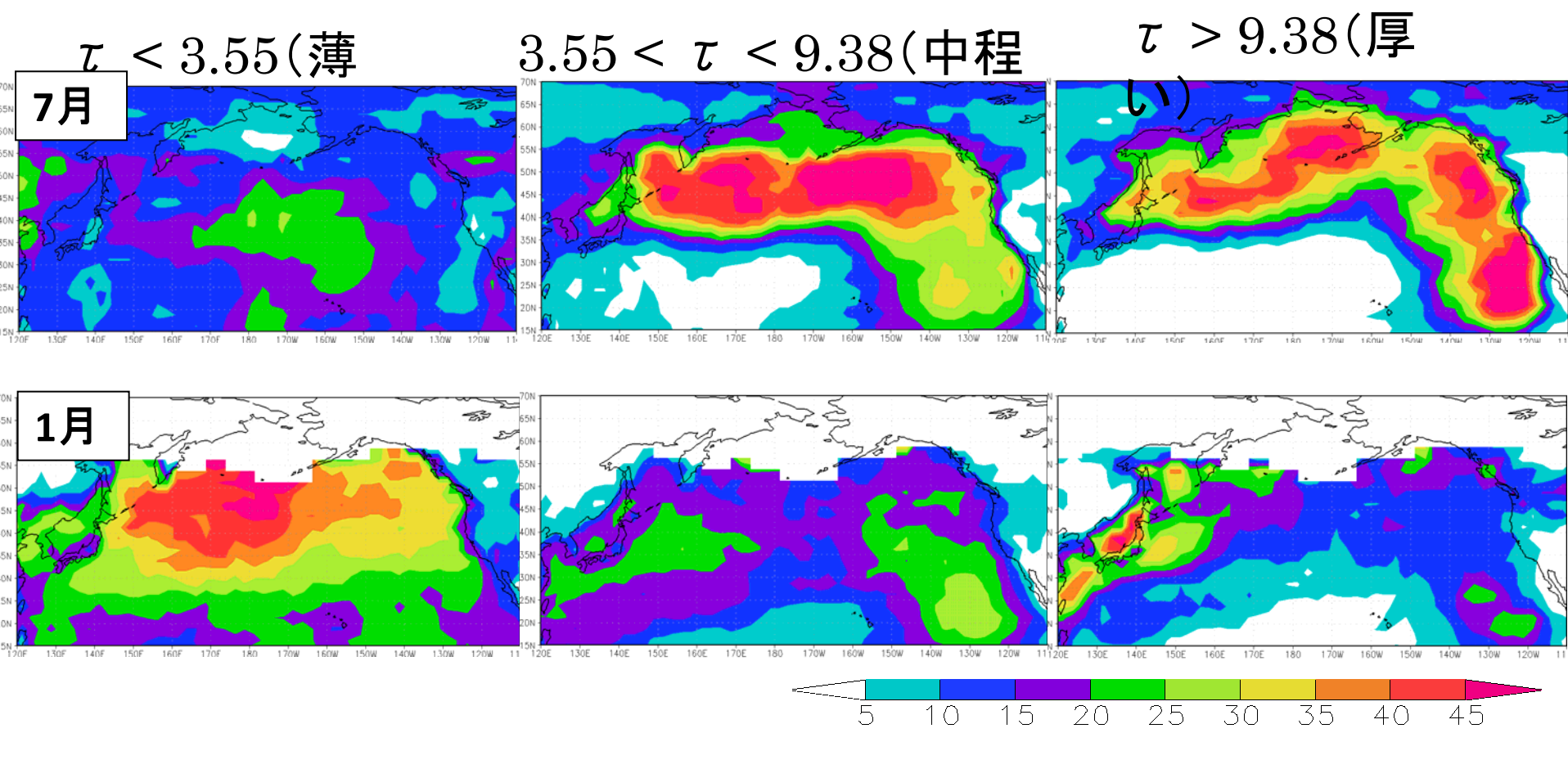
オホーツク海高気圧インデックス南北気圧差インデックス津軽海峡気圧差インデックス 宗谷海峡気圧差インデックス気温インデックス日変化インデックス東西モードインデックス

1kmメッシュによるヤマセ地域特性



北太平洋の下層雲分布(光学的厚さ別)

上の雲に隠されてない部分に占める下層雲量



夏季オホーツク海の下層雲は、光学的厚さは中程度→恐らく、霧に対応 冬季日本海沿岸の下層雲は、光学的に非常に厚い→非常に活発な降雪雲

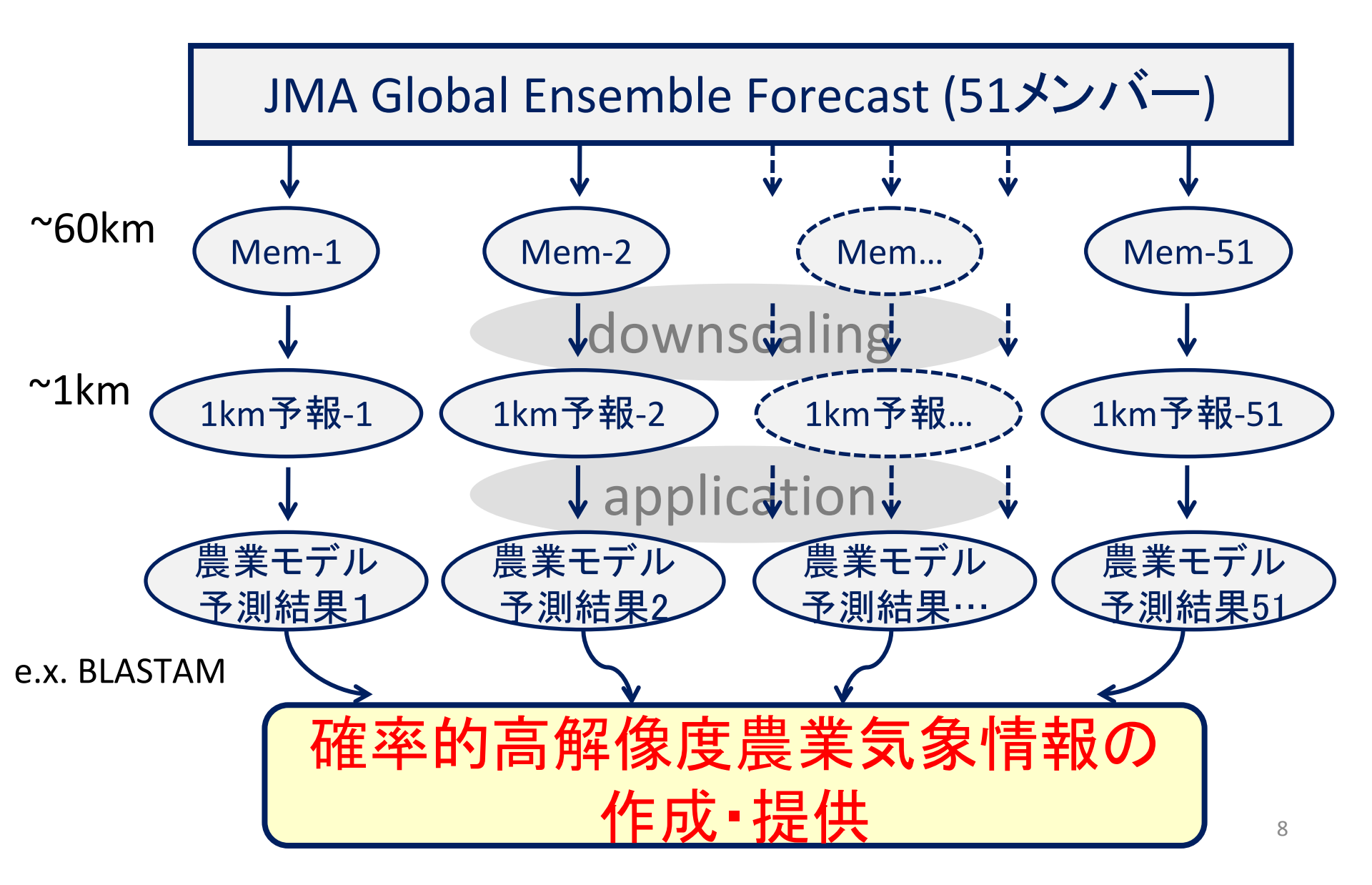
2. 予測研究 短中期予測の農業気象情報への活用

ダウンスケールのためのデータ同化と アンサンブル予測技術の開発

農業気象モデルの高度化

利用者インターフェースの開発

農業気象情報の確率予報システム



イネいもち病の発生予察モデルBLASTAM

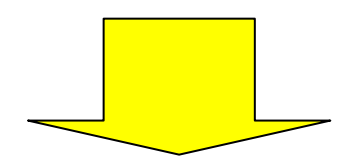
BLASTAM: いもち病のBLAST+アメダスのAMeDAS

アメダスによる観測値

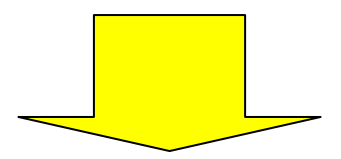
過去5日分の日平均気温、前日と前々日の時別気温・日照時間・降水量・風速を入力

気象予測データ

観測・予測データによる日平均 気温、時別気温・日照時間・降 水量・風速を入力



いもち病の実況診断



いもち病の発生予察

気象予測データを適用し、数日 先までの感染好適条件を計算す

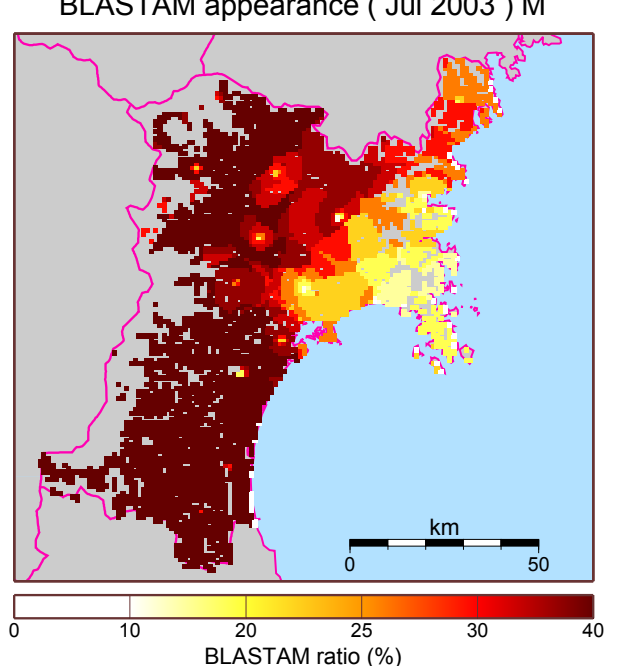
東北大DSデータによる

BLASTAM

- 東北大チームによるDSデータを用いて、2003,2004年の7月の BLASTAMを計算(データはいずれも1kmメッシュ)
 - → 東北農研メッシュのものと感染好適条件出現率による比較

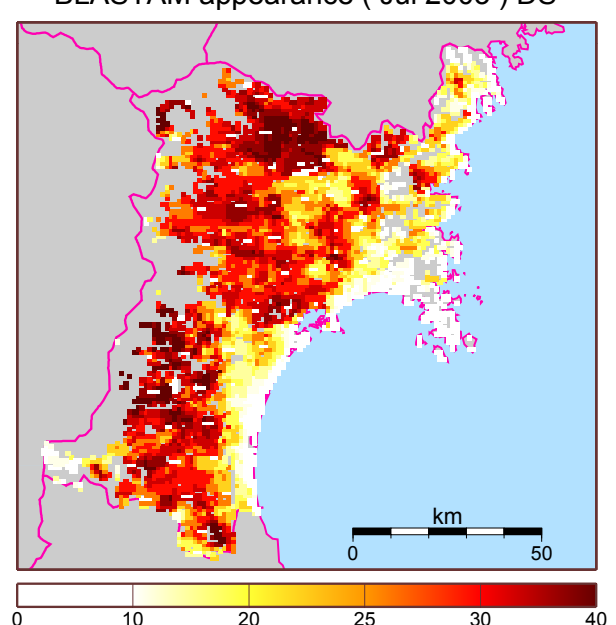
2003.7月

東北農研1kmメッシュ BLASTAM appearance (Jul 2003) M



東北大1kmメッシュ

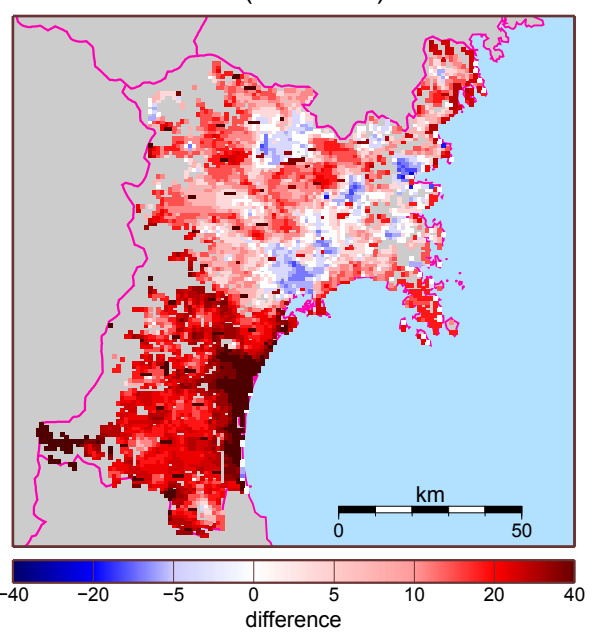
BLASTAM appearance (Jul 2003) DS



BLASTAM ratio (%)

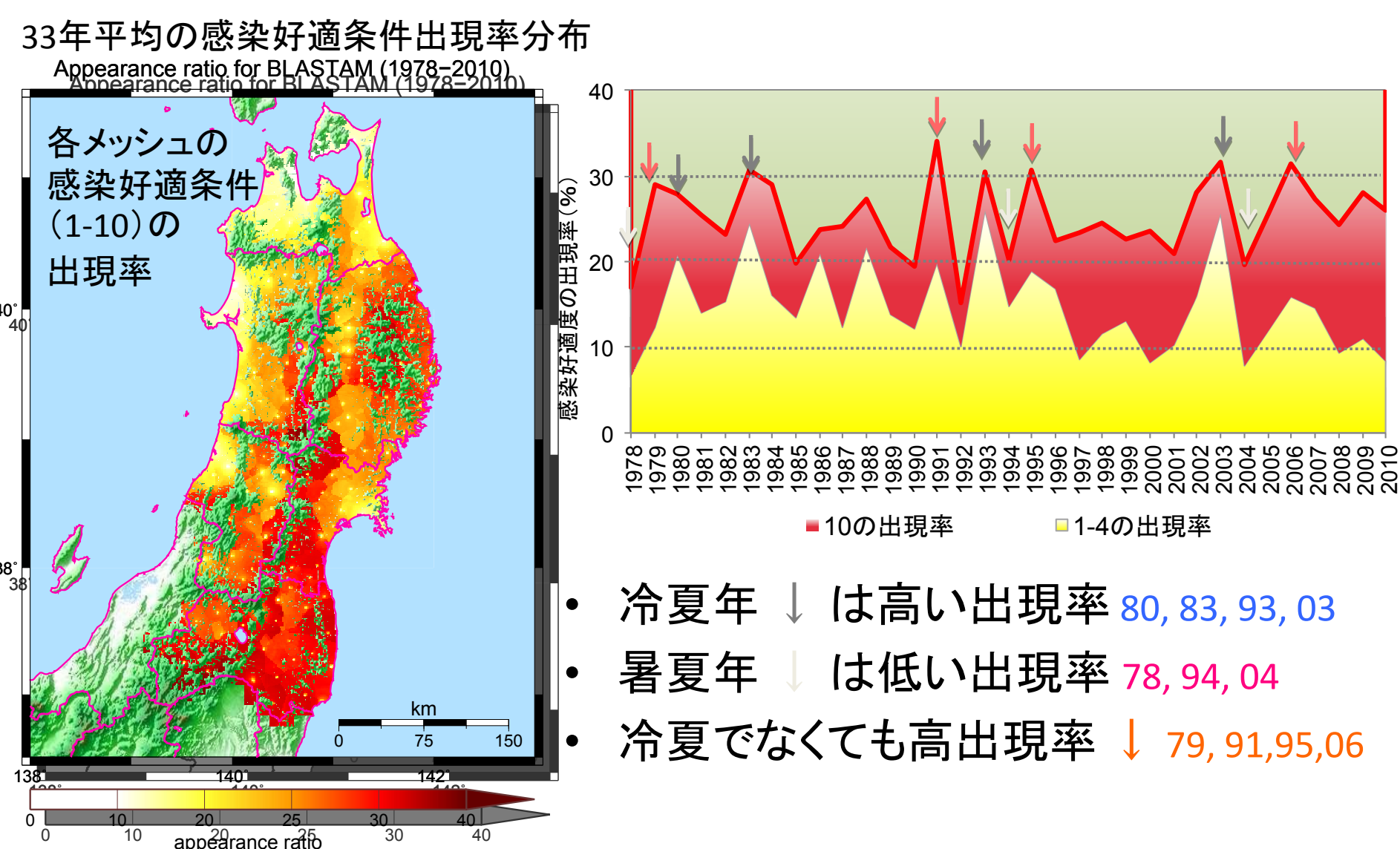
差分(農研一東北大)

Difference (Jul 2003) M - ds

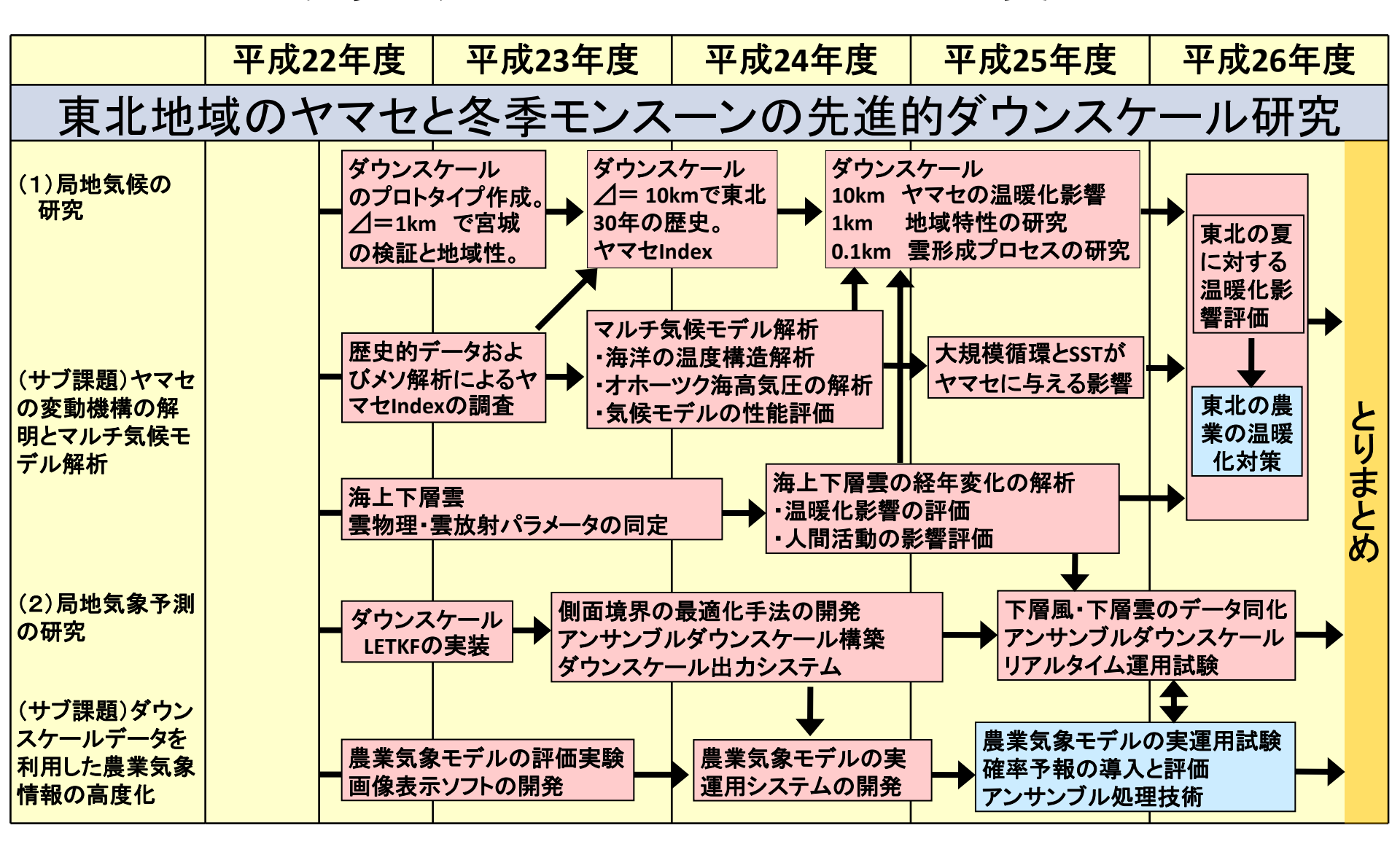


計算で得た過去33年間の感染好適条件の出現率

集計期間:1978-2010,6/21-8/10(51日間)



気候変動適応イニシアチブ年度計画



東北の農業の温暖化対策。ダウンスケール予測情報を利用した農業気象情報。

北冷西暑は本当か?

都市	気温変化率 (°C/100 年)								
	平均気温			日最高気温			日最低気温		
	年	1月	8月	年	1月	8月	年	1月	8月
札幌	2. 6	3.8	1. 0	0.8	1.6	<i>−0. 6</i>	4. 5	6. 4	2. 6
仙 台	2. 3	3. 2	0. 3	0. 9	1.6	<i>−0. 6</i>	3, 1	4. 2	0. 9
東京	3. 3	4. 8	1, 5	1.4	1.6	<i>0. 5</i>	4. 6	6. 9	2. 3
新 潟※	2. 1	2.8	1. 2	1. 9	3. 1	0. 4	2. 3	2. 9	1.8
名 古 屋	2. 9	3. 4	2. 2	1.0	1.6	0.8	4. 1	4. 3	3. 2
大 阪※	2. 9	2.7	2. 4	2. 3	2. 0	2. 2	3. 9	3. 4	3. 6
広島※	2. 1	2. 2	1, 4	1.0	1. 1	0.8	3. 2	3. 2	2. 4
福 岡	3. 2	3. 3	2. 3	1.6	1. 9	1. 1	5. 2	4. 9	3.7
鹿児島※	3. 0	3. 4	2. 6	1. 4	1.6	1, 3	4. 3	4. 7	3. 7
17 地点平均 ※	1.5	1. 9	0. 7	0. 9	1. 3	0. 1	1.8	2. 3	1, 1

主要都市および都市化の影響が少ないと考えられる17地点平均の気温の上昇率

年、1月、8月の平均気温、日最高気温、日最低気温の100年あたりの上昇率を示す。統計期間は1931年から2009年まで。斜体字は統計的に有意な変化傾向がないことを意味する。※を付した地点(17地点平均は飯田、宮崎)は、統計期間内に庁舎の移転があったため、移転に伴う影響を補正してから算出した。補正の方法は、気象観測統計指針(気象庁,2005a)

(http://www.data.jma.go.jp/obd/stats/data/kaisetu/index.html)の「主成分分析による方法」による。補正値はデータの見直しにより変更する場合がある。ヒートアイランド監視報告(平成21年)気象庁